



*Análisis descriptivo para el dióxido de nitrógeno medido en el centro de Quito
usando análisis funcional*

*Descriptive analysis for nitrogen dioxide measured in downtown Quito using
functional analysis*

*Análise descritiva para dióxido de nitrogênio medido no centro de Quito usando
análise funcional*

Fabián Allauca-Pancho ^I

fabian.allauca@epoch.edu.ec

<https://orcid.org/0000-0001-7668-3053>

Kleber Jaramillo-Galarza ^{III}

kjaramillo@unach.edu.ec

<https://orcid.org/0000-0003-1488-5412>

Edgar Salazar-Álvarez ^{II}

edgar.salazar@epoch.edu.ec

<https://orcid.org/0000-0003-0988-0641>

Patricio Villagómez-Arellano ^{IV}

rodrigo.villagomez@educacion.gob.ec

<https://orcid.org/0000-0001-8490-272X>

Correspondencia: fabian.allauca@epoch.edu.ec

Ciencias Naturales.
Artículo de Investigación.

* **Recibido:** 23 de enero de 2023 * **Aceptado:** 12 de febrero de 2023 * **Publicado:** 16 de marzo de 2023

- I. Escuela Superior Politécnica de Chimborazo, Riobamba, Ecuador.
- II. Escuela Superior Politécnica de Chimborazo, Riobamba, Ecuador.
- III. Universidad Nacional de Chimborazo, Riobamba, Ecuador.
- IV. Unidad Educativa Fiscomisional Río Upano, Sucua, Ecuador.

Resumen

Analizar descriptivamente los datos del dióxido de nitrógeno medidos en el año 2019 y 2020 en el centro histórico de Quito. Materiales y métodos. Los datos ambientales fueron recolectados por la Red Metropolitana de Monitoreo Atmosférico de Quito (REMMAQ). Los datos fueron analizados en el software estadístico RStudio, con el paquete "fda.usc" (Análisis de datos funcionales y utilidades para la computación estadística) versión 2.0.2. Resultados. Se obtuvieron gráficos exploratorios, curvas atípicas, gráficas mensuales, gráficas con curvas medias y bandas de confianza. El gráfico exploratorio indicó que el comportamiento del dióxido de nitrógeno presentó una tendencia de doble montaña, la primera teniendo como cumbre un valor aproximado de 60 $\mu\text{g}/\text{m}^3$ alrededor de las 7 a 8 de la mañana, y la segunda teniendo como cumbre el mismo valor aproximado de 60 $\mu\text{g}/\text{m}^3$ alrededor de las 5 a 6 de la tarde; correspondiendo estos picos o cumbres exactamente con las horas de máxima circulación vehicular. Al graficar las curvas medias mensuales para el año 2019 se observó que las medias más altas corresponden a los meses de marzo y abril; mientras que los meses con medias más bajas corresponden a los meses de julio y agosto. La gráfica de la curva media con un entorno de confianza Bootstrap al 95% indicó la tendencia vista anteriormente de doble montaña, donde las cumbres llegan a un valor de 32 $\mu\text{g}/\text{m}^3$ alrededor de las 6 a 8 de la mañana y un valor de 33 $\mu\text{g}/\text{m}^3$ alrededor de las 6 a 8 de la noche; y tomando un valor de 12 $\mu\text{g}/\text{m}^3$ en su punto más bajo.

Palabras Clave: Contaminación del aire; dióxido de nitrógeno; software estadístico R; paquete fda.usc; análisis funcional.

Summary

Descriptively analyze the nitrogen dioxide data measured in 2019 and 2020 in the historic center of Quito. Materials and methods. Environmental data were collected by the Quito Metropolitan Atmospheric Monitoring Network (REMMAQ). Data were analyzed using RStudio statistical software, with the "fda.usc" package (Functional Data Analysis and Statistical Computing Utilities) version 2.0.2. Results. Exploratory graphs, atypical curves, monthly graphs, graphs with mean curves and confidence bands were obtained. The exploratory graph indicated that the behavior of nitrogen dioxide presented a double-mountain trend, the first peaking at an approximate value of 60 $\mu\text{g}/\text{m}^3$ around 7 to 8 in the morning, and the second peaking at the same value. approximately 60 $\mu\text{g}/\text{m}^3$ around 5 to 6 pm; corresponding to these peaks or summits exactly with the hours of

maximum vehicular circulation. When graphing the monthly average curves for the year 2019, it was observed that the highest averages correspond to the months of March and April; while the months with the lowest averages correspond to the months of July and August. The plot of the mean curve with a Bootstrap 95% confidence set indicated the previously seen double-mountain trend, where the peaks reach a value of $32 \mu\text{g}/\text{m}^3$ around 6 to 8 a.m. and a value of $33 \mu\text{g}/\text{m}^3$ around 6 to 8 at night; and taking a value of $12 \mu\text{g}/\text{m}^3$ at its lowest point.

Keywords: Air pollution; nitrogen dioxide; R statistical software; fda.usc package; functional analysis.

Resumo

Análise descritivamente os dados de dióxido de nitrogênio medidos em 2019 e 2020 no centro histórico de Quito. Materiais e métodos. Os dados ambientais foram coletados pela Rede Metropolitana de Monitoramento Atmosférico de Quito (REMMAQ). Os dados foram analisados por meio do software estatístico RStudio, com o pacote "fda.usc" (Functional Data Analysis and Statistical Computing Utilities) versão 2.0.2. Resultados. Foram obtidos gráficos exploratórios, curvas atípicas, gráficos mensais, gráficos com curvas médias e faixas de confiança. O gráfico exploratório indicou que o comportamento do dióxido de nitrogênio apresentou uma tendência de dupla montanha, a primeira atingindo um valor aproximado de $60 \mu\text{g}/\text{m}^3$ por volta das 7 às 8 da manhã, e a segunda atingindo o mesmo valor, aproximadamente $60 \mu\text{g}/\text{m}^3$ por volta das 17h às 18h; correspondendo esses picos ou cumes exatamente com as horas de máxima circulação veicular. Ao traçar as curvas médias mensais para o ano de 2019, observou-se que as maiores médias correspondem aos meses de março e abril; enquanto os meses com as menores médias correspondem aos meses de julho e agosto. O gráfico da curva média com uma configuração de confiança Bootstrap de 95% indicou a tendência de montanha dupla vista anteriormente, onde os picos atingem um valor de $32 \mu\text{g}/\text{m}^3$ por volta das 6h às 8h e um valor de $33 \mu\text{g}/\text{m}^3$ por volta das 6h às 8h. à noite; e tomando um valor de $12 \mu\text{g}/\text{m}^3$ em seu ponto mais baixo.

Palavras-chave: Contaminação do ar; dióxido de nitrogênio; software estatístico R; pacote fda.usc; Análise funcional.

Introducción

El dióxido de nitrógeno (NO₂) es un contaminante atmosférico, de origen principalmente antropogénico, cuyas fuentes fundamentales son motores de combustión interna (vehículos), así como las emisiones de determinadas industrias y grandes instalaciones de combustión. (Madrid Salud, 2023)

Los niveles más altos de este contaminante se alcanzan en áreas urbanas, especialmente en las grandes ciudades, así como en la proximidad de las vías de comunicación con mayor intensidad de tráfico. En el medio urbano, se estima que más del 75% del NO₂ en aire ambiente se debe al tráfico rodado. Su presencia en el aire contribuye a la formación y modificación de otros contaminantes atmosféricos, tales como el ozono y las partículas en suspensión (PM₁₀ y PM_{2,5}). Los óxidos de nitrógeno, en contacto con compuestos orgánicos volátiles (COVs) presentes en la atmósfera y en presencia de radiación solar, generan ozono (O₃), contaminante secundario de la atmósfera. (Madrid Salud, 2023)

La exposición continua de NO₂ se relaciona con diversas enfermedades de las vías respiratorias como disminución de la capacidad pulmonar, bronquitis agudas, asma y se considera el culpable de los procesos alérgicos, sobre todo en niños. Se ha relacionado las exposiciones crónicas a bajo nivel con el enfisema pulmonar. Otros efectos menores son la irritación ocular y de las mucosas. Existen algunos estudios que apuntan a un incremento en la mortalidad, aunque aún no está suficientemente bien establecido que la causa sea solamente la exposición a NO₂ (Instituto para la Salud Geoambiental, 2021).

El Municipio del Distrito Metropolitano de Quito por medio de la Corporación para el Mejoramiento del Aire de Quito (CORPAIRE), menciona que se generaron 21 699 toneladas de NO_x, 80% de las cuales por fuentes móviles, principalmente buses y pesados (42%) y particulares livianos, taxis y camionetas (35%). Otra fuente significativa son las centrales de generación termoeléctrica (17%). (Corporación para el Mejoramiento del Aire de Quito, 2006)

Al ser el dióxido de nitrógeno un contaminante peligroso para la salud de las personas, el Municipio del Distrito Metropolitano de Quito por medio de la Red Metropolitana de Monitoreo Atmosférico (REMMAQ) lo monitorea diariamente, registrando sus datos para análisis posteriores.

Numerosos estudios utilizan el análisis funcional de datos para describir ciertos fenómenos físicos, teniendo como base datos meteorológicos, como temperatura, radiación solar, humedad, velocidad del viento, presión, entre otras; donde se utiliza el software estadístico de libre distribución RStudio, con énfasis en el uso de las librerías `fda` y `fda.usc` para su descripción. (Allauca Pancho, 2021)

Metodología

El paradigma utilizado en la presente investigación es el paradigma positivista, con enfoque cuantitativo, el diseño utilizado es el diseño no experimental transversal.

Los datos con los que se desarrolló la presente investigación son los obtenidos en la base de datos de la Red Metropolitana de Monitores Atmosférico de Quito (REMMAQ) para los años 2019 y 2020.

La población son los datos del contaminante (dióxido de nitrógeno) presentes en el aire en todo momento, mientras que la muestra son los datos registrados por la REMMAQ cada hora del día para los años 2019 y 2020.

El procesamiento de la información fue realizado de la siguiente manera:

- -Selección de datos de este contaminante para los años 2019 y 2020.
- -Creación de una hoja de cálculo en Microsoft Excel con los datos seleccionados.
- -Disposición de los datos en filas de manera cronológica para los días y en columnas para las horas del día.
- -Llenado de datos faltantes por medio de interpolación lineal.
- -Lectura de la hoja de Microsoft Excel en el software estadístico RStudio.
- -Suavizar la base de datos en el software RStudio.
- -Realizar el gráfico exploratorio de los datos funcionales del contaminante con `ggplot2`.

- -Hallar los datos atípicos.
- -Graficar las curvas medias mensuales de los datos funcionales del contaminante.
- -Determinar la curva media y la banda de confianza.

Resultados

Los resultados del estudio son presentados a continuación:

Curvas diarias:

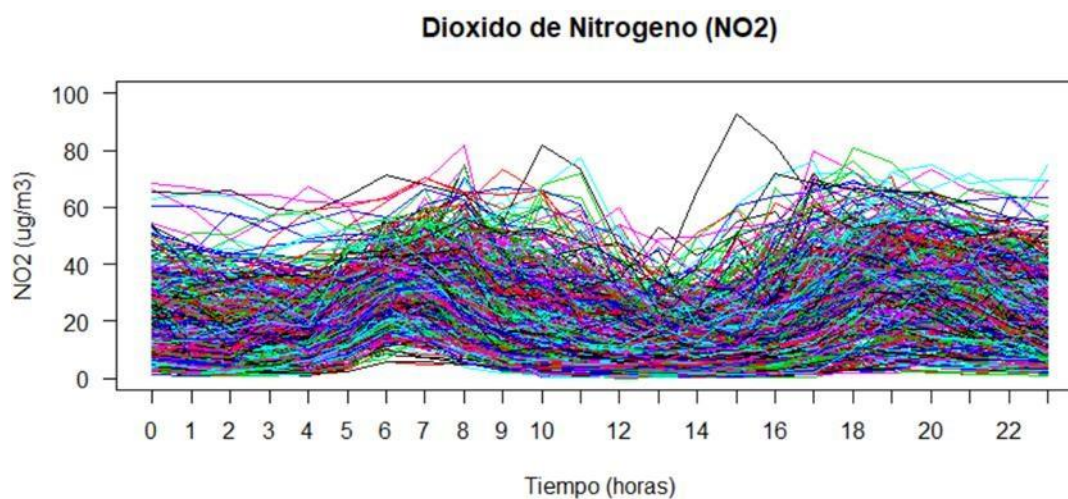


Figura 1: Curvas diarias del dióxido de nitrógeno para los años 2019 y 2020

Realizado por: Allauca Fabián, 2021

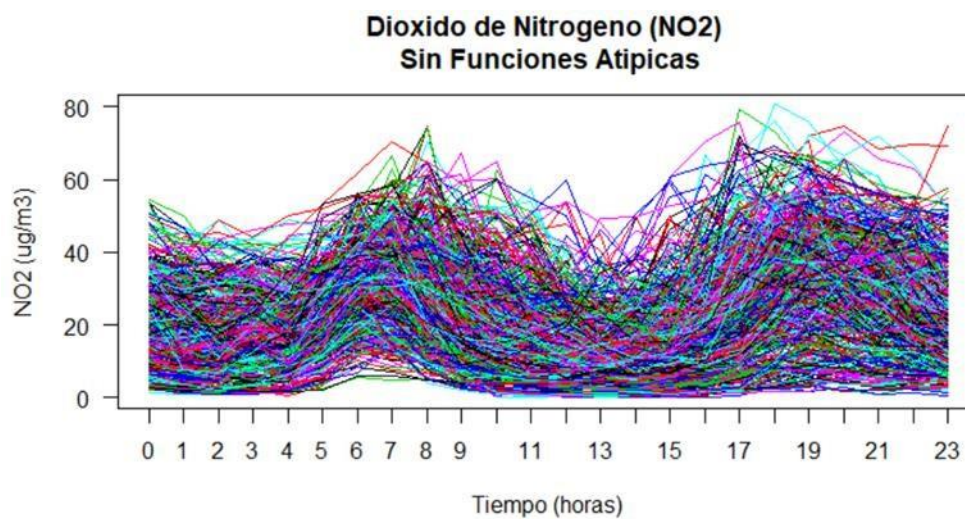


Figura 2: Curvas diarias del dióxido de nitrógeno sin curvas atípicas

Realizado por: Allauca Fabián, 2021

Valores atípicos funcionales:

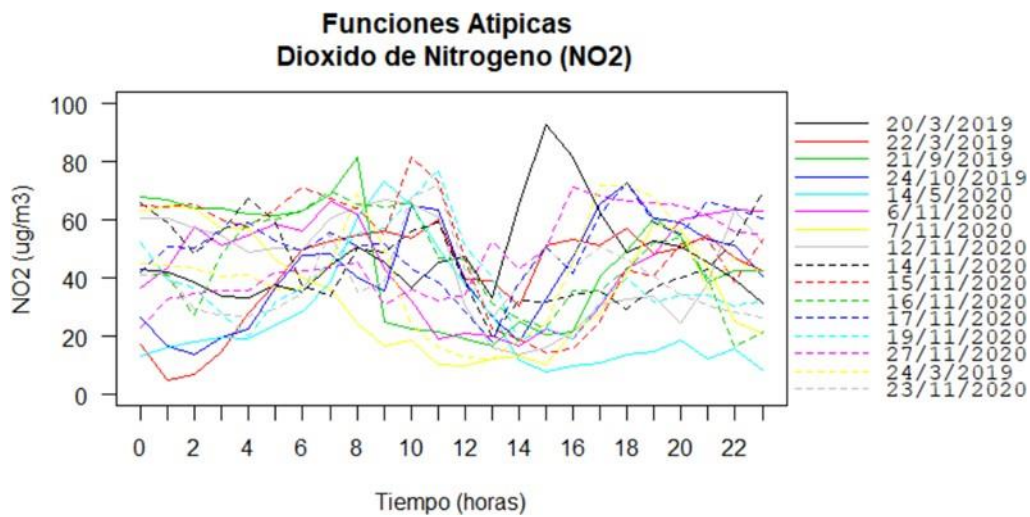


Figura 3: Funciones atípicas del dióxido de nitrógeno para los años 2019 y 2020
Realizado por: Allauca Fabián, 2021

Curvas medias mensuales:

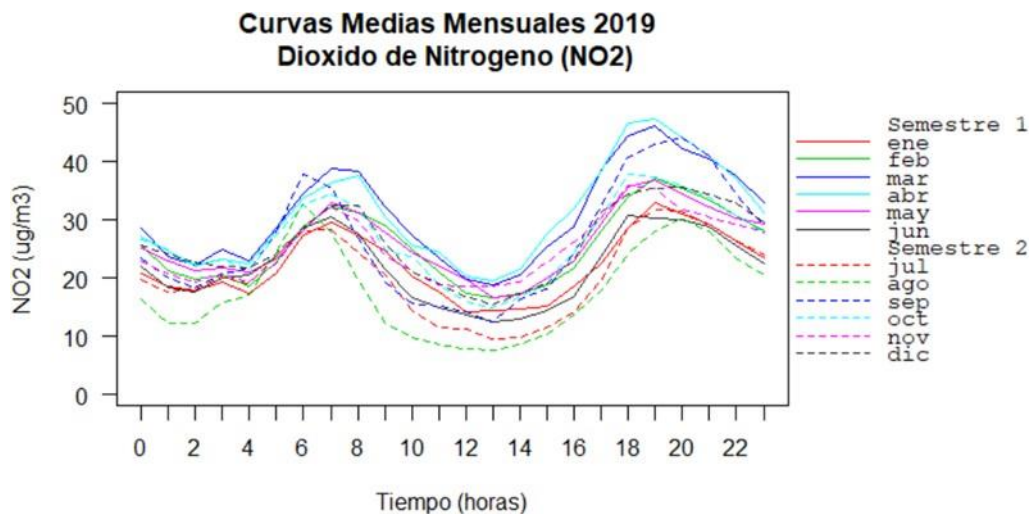


Figura 4: Curvas medias mensuales del dióxido de nitrógeno para el año 2019
Realizado por: Allauca Fabián, 2021

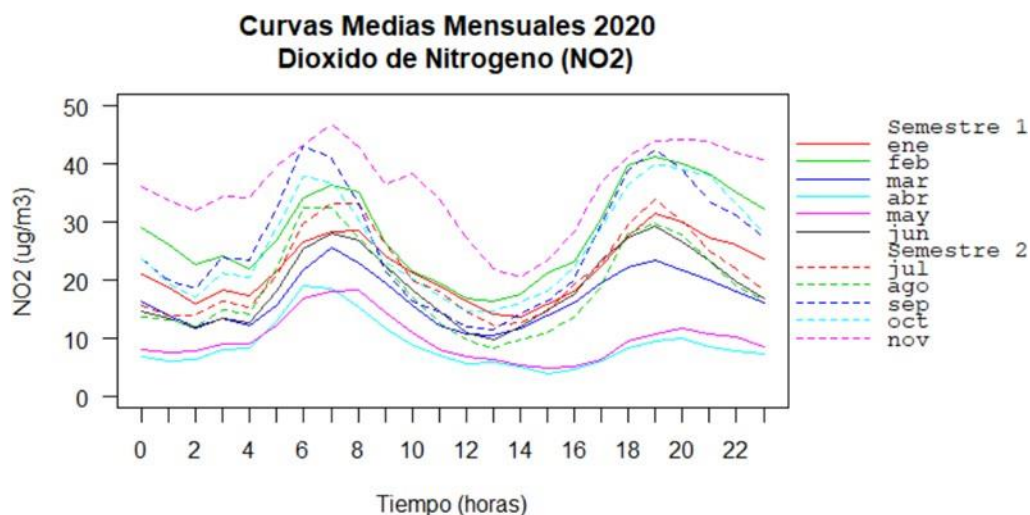


Figura 5: Curvas medias mensuales del dióxido de nitrógeno para el año 2020
Realizado por: Allauca Fabián, 2021

Curva media funcional con entorno de confianza bootstrap al 95%:

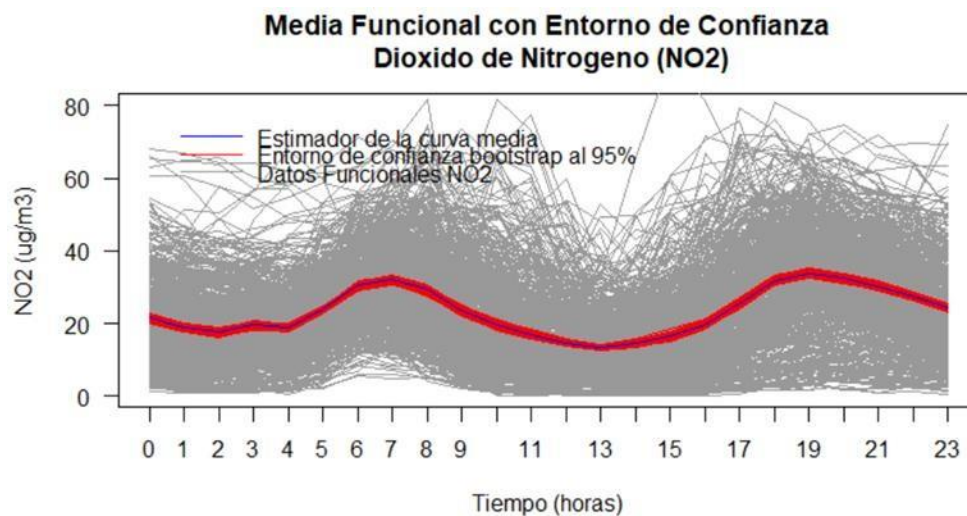


Figura 6: Estimador de curva media con entorno de confianza bootstrap al 95% del dióxido de nitrógeno para los años 2019 y 2020
Realizado por: Allauca Fabián, 2021

Discusión

Curvas diarias:

En la Figura 1, se puede observar las 700 curvas diarias del dióxido de nitrógeno correspondiente a los años 2019 y 2020, en la cual se aprecia una tendencia de doble montaña, la primera teniendo como cumbre un valor aproximado de $60 \mu\text{g}/\text{m}^3$ alrededor de las 7 a 8 de la mañana, y la segunda teniendo como cumbre el mismo valor aproximado de $60 \mu\text{g}/\text{m}^3$ alrededor de las 5 a 6 de la tarde; correspondiendo estos picos o cumbres exactamente con las horas de máxima circulación vehicular. Cabe mencionar que el dióxido de nitrógeno tiene como una de sus fuentes de origen los procesos de combustión interna de motores diésel y gasolina de vehículos, representando el 80% para la ciudad de Quito en el año 2006. (Corporación para el Mejoramiento del Aire de Quito, 2006). Por este motivo se explicaría la tendencia que están tomando los datos de este contaminante.

Para tener una mayor visualización de la tendencia de la distribución de los datos funcionales para el dióxido de nitrógeno, se grafica sin curvas atípicas, la Figura 2, muestra la gráfica exploratoria sin estas curvas atípicas, pudiéndose apreciar de mejor manera la tendencia de doble montaña que están tomando los datos, presentando sus cumbres alrededor de las 7 a 8 de la mañana y alrededor de las 5 a 6 de la tarde.

Valores atípicos funcionales:

Las curvas de los días atípicos corresponden a los siguientes días:

20, 22 y 24 de marzo de 2019

21 de septiembre de 2019

24 de octubre de 2019

14 de mayo de 2020

6, 7, 12, 14, 15, 16, 17, 19, 23 y 27 de noviembre de 2020

La Figura 3 muestra 16 curvas de los días atípicos, estas curvas no concuerdan con la tendencia de la distribución de los datos para el dióxido de nitrógeno, ya que en algunas horas del día muestran valores más altos en comparación a las otras curvas. Se observa que el mes de noviembre de 2020

posee 10 días atípicos, pudiéndose deber posiblemente alguna falla del equipo recolector de datos o algún motivo que incremento la concentración de este contaminante.

Curvas medias mensuales:

Las Figuras 4 y 5 muestran las curvas de las medias mensuales del dióxido de nitrógeno para los años 2019 y 2020 respectivamente. En la figura correspondiente al año 2019 se aprecia que las medias más altas corresponden a los meses de marzo y abril; mientras que los meses con medias más bajas corresponden a los meses de julio y agosto; coincidiendo de alguna manera con los meses de vacaciones escolares.

En la Figura 5 se aprecia un comportamiento de las medias, menor, sobre todo para los meses de marzo, abril y mayo de 2020 en comparación con las curvas del 2019, exceptuando el mes de noviembre de 2020, donde se pudo apreciar 10 días atípicos. Este comportamiento de las medias, menor en comparación con el año 2019, se puede deber a que en el año 2020 se produjo la pandemia de covid-19, trayendo consigo un aislamiento y por ende a una menor circulación vehicular sobre todo en los meses de marzo, abril y mayo.

Curva media funcional con entorno de confianza bootstrap al 95%:

La media funcional para los datos del dióxido de nitrógeno se puede apreciar en la Figura 6, como también el entorno de confianza bootstrap al 95%. La curva media mostrada en color azul indica la tendencia vista anteriormente de doble montaña, donde las cumbres llegan a un valor de 32 $\mu\text{g}/\text{m}^3$ alrededor de las 6 a 8 de la mañana y un valor de 33 $\mu\text{g}/\text{m}^3$ alrededor de las 6 a 8 de la noche, y tomando un valor de 12 $\mu\text{g}/\text{m}^3$ en su punto más bajo.

La Organización Mundial de la Salud recomienda una concentración media anual de dióxido de nitrógeno de 40 $\mu\text{g}/\text{m}^3$, para que no exista daño a la salud de las personas. (Organización Mundial de la Salud, 2021). De acuerdo a la media funcional obtenida en esta investigación, la curva media no sobrepasa este valor, pero se está muy cerca de este valor medio. La temperatura ambiente y la presión atmosférica promedio a la que fueron tomados los datos son de 14.86°C y 0.718 atm. respectivamente.

Conclusiones

Los datos del dióxido de nitrógeno (NO₂) describieron una tendencia de doble montaña, la primera teniendo como cumbre un valor aproximado de 60 µg/m³ alrededor de las 7 a 8 de la mañana, y la segunda teniendo como cumbre el mismo valor aproximado de 60 µg/m³ alrededor de las 5 a 6 de la tarde.

Se observó 16 curvas atípicas, estas curvas no concuerdan con la tendencia de la distribución de los datos para el dióxido de nitrógeno; el mes de noviembre de 2020 posee 10 días atípicos, pudiéndose deber posiblemente alguna falla del equipo recolector de datos o algún motivo que incremento la concentración de este contaminante.

La curva media para los datos del NO₂ llegó a un valor máximo de 32 µg/m³ alrededor de las 6 a 8 de la mañana y un valor de 33 µg/m³ alrededor de las 6 a 8 de la noche, y tomando un valor de 12 µg/m³ en su punto más bajo. Estos valores no representan daño para la salud de acuerdo a la Organización Mundial de la Salud que recomienda una concentración media de 40 µg/m³.

Referencias

1. LUMITOS AG. (19 de Febrero de 2021). QUIMICA.ES. Obtenido de https://www.quimica.es/enciclopedia/%C3%93xido_de_azufre_%28IV%29.html
2. Aguilera del Pino, M., & Aguilera Morillo, C. (2013). Introducción al Análisis de Datos Funcionales con R. Cádiz: Universidad de Cádiz. Dpto. Estadística e Investigación Operativa.
3. Arias Odón, F. (2012). El proyecto de investigación. Introducción a la metodología científica. Caracas: Editorias Episteme.
4. Benalcazar, G. (2005). Espacios Normados y Aplicaciones. Quito.
5. Consejería de Salud de la Región de Murcia. (21 de Junio de 2021). Murcia Salud. Obtenido de <http://www.murciasalud.es/pagina.php?id=180398#>
6. Córdoba, D., & Ramos, J. (2001). Monóxido de Carbono. Bogotá: Editorial el Manual Moderno.
7. Corporación para el Mejoramiento del Aire de Quito. (2006). Inventario de emisiones del Distrito Metropolitano de Quito - 2003. Quito: PPL Impresores. 2529 762-Quito.
8. Escudero Villa, A. I. (2014). Análisis exploratorio funcional de los datos de radiación solar 2011 como soporte para la simulación de su comportamiento. Riobamba: Escuela Superior Politécnica de Chimborazo.

9. Espín Mayorga, M. E., & Veloz Cuichán, S. M. (2013). Evaluación de los efectos de la Calidad del Aire en la productividad de los cultivos en los barrios La Morita, La Tola, El Arenal, La Esperanza y Collaquí ubicados en la parroquia de Tumbaco, cantón Quito, provincia de Pichincha. Quito: Universidad Central del Ecuador.
10. Foster, M., & Costa, D. (2005). Air Pollutants and the Respiratory Tract. Lung Biology in Health and Disease.
11. Fundación Aquae. (3 de Febrero de 2021). AQUAE FUNDACIÓN. Obtenido de www.fundacionaquae.org/causas-contaminacion-ambiental/
12. Gobierno de España. (19 de Febrero de 2021). Registro Estatal de Emisiones y Fuentes Contaminantes. Obtenido de <http://www.prtr-es.es/NOx-oxidos-de-nitrogeno,15595,11,2007.html>
13. Grajales, T. (25 de Septiembre de 2017). Tipos de Investigación. Recuperado el 27 de 3 de 2000, de <http://tgrajales.net/investipos.pdf>
14. Granda, J. B. (2015). Manual de metodología de la investigación científica. Chimbote - Perú: Universidad Católica los Ángeles Chimbote.
15. Guerrón Varela, E. R. (2015). Análisis de datos meteorológicos del Valle de los Chillos usando datos funcionales. Quito: Universidad San Francisco de Quito.
16. Gutiérrez, J., Romieu, I., Corey, G., & Fortoul, T. (1997). Contaminación del aire, riesgos para la salud. México DF: UNAM/El Manual Moderno.
17. Hernández Sampieri, R., Fernández Collado, C., & Baptista Lucio, P. (2014). Metodología de la investigación. México D.F.: McGraw-Hill / Interamericana Editores, S.A. de C.V.
18. Instituto para la Salud Geoambiental. (19 de Febrero de 2021). Instituto para la Salud Geoambiental - Un ser vivo, un entorno sano. Obtenido de <https://www.saludgeoambiental.org/dioxido-nitrogeno-no2>
19. Kreyszig, E. (1978). Introductory Functional Analysis with Applications. New York: University of Windsor.
20. Meneses, E., Turtós, L., & Molina, E. (2004). Mejoras en la estimación de las externalidades de la generación eléctrica en Cuba. Revista electrónica Ecosolar, 7. Obtenido de <http://www.cubasolar.org/biblioteca/ecosolar.htm>
21. Ministerio de Ambiente de Colombia . (19 de Febrero de 2021). IDEAM - Instituto de Hidrología, Meteorología y Estudios Ambientales. Obtenido de <http://www.ideam.gov.co/web/tiempo-y-clima/los-agentes-precursores-de-la-lluvia-acida>
22. Ministerio de Educación. (24 de Junio de 2021). Ministerio de Educación. Obtenido de <https://educacion.gob.ec/calendario-escolar/>

23. Ministerio de Salud Pública. (24 de Junio de 2021). Ministerio de Salud Pública. Obtenido de <https://www.salud.gob.ec/noticias/>
24. Municipio del Distrito Metropolitano de Quito. (3 de Febrero de 2021). Secretaría de Ambiente. Obtenido de <http://www.quitoambiente.gob.ec/ambiente/index.php/politicas-y-planeacion-ambiental/red-de-monitoreo>
25. Navarro Pérez, V. (2004). Análisis de Datos Funcionales. Implementación y Aplicaciones. Catalunya: Universidad Politécnica de Catalunya.
26. Organización Mundial de la Salud. (22 de Junio de 2021). Organización Mundial de la Salud. Obtenido de [https://www.who.int/es/news-room/fact-sheets/detail/ambient-\(outdoor\)-air-quality-and-health](https://www.who.int/es/news-room/fact-sheets/detail/ambient-(outdoor)-air-quality-and-health)
27. Organización Panamericana de la Salud. (3 de Enero de 2005). Contaminación ambiental. Obtenido de <http://www.paho.org>
28. Pérez Montilla, A. (2018). Métodos avanzados de análisis de Datos Funcionales. Puerto Real: Universidad de Cádiz.
29. Pérez Plaza, S. M. (2020). Estudio y aplicación de técnicas de Análisis de Datos Funcionales de geoposicionamiento. Puerto Real: Universidad de Cádiz.
30. Picón Llamas, D. M. (2019). Análisis de Datos Funcionales aplicado a datos de temperatura en España. Valladolid: Universidad de Valladolid.
31. Ricoy Lorenzo, C. (2006). Contribución sobre los paradigmas de investigación. Revista do Centro de Educação, 11-22.
32. Romero Placeres, M., Diego Olite, F., & Álvarez Toste, M. (2006). La contaminación del aire: su repercusión como problema de salud. Revista Cubana de Higiene y Epidemiología, 44.
33. Salini Calderón, G. A. (2014). Estudio Acerca del Material Particulado Emitido en Ciudades de Tamaño Medio al Sur de Santiago de Chile. Revista INGE CUC, 97-108.
34. Sanchiz, J. (2014). El ozono atmosférico. Revista Tiempo y Clima, 15.
35. Torres, W. (2002). Biología de las especies de oxígeno reactivas. México D.F.: Universidad Nacional Autónoma de México.
36. U.S Environmental Protection Agency. (2001). National air quality 2001 status and trends. Carbon Monoxide. Washington, D.C: EPA.
37. Yassi, A., Kjellstrom, T., de Kok, T., & Guidotti. (2002). Salud Ambiental Básica. Maxico DF: PNUMA.

© 2023 por los autores. Este artículo es de acceso abierto y distribuido según los términos y condiciones de la licencia Creative Commons Atribución-NoComercial-CompartirIgual 4.0 Internacional (CC BY-NC-SA 4.0) (<https://creativecommons.org/licenses/by-nc-sa/4.0/>).